



ИПМ им.М.В.Келдыша РАН • Электронная библиотека

Препринты ИПМ • Препринт № 119 за 2016 г.



ISSN 2071-2898 (Print)  
ISSN 2071-2901 (Online)

Рагимли П.И., [Повещенко Ю. А.](#),  
Казакевич Г.И., [Бойков Д.С.](#),  
[Гасилова И. В.](#)

Модель флюидодинамики в  
пористой среде,  
содержащей газогидраты

**Рекомендуемая форма библиографической ссылки:** Модель флюидодинамики в пористой среде, содержащей газогидраты / П.И.Рагимли [и др.] // Препринты ИПМ им. М.В.Келдыша. 2016. № 119. 15 с. doi:[10.20948/prepr-2016-119](https://doi.org/10.20948/prepr-2016-119)  
URL: <http://library.keldysh.ru/preprint.asp?id=2016-119>

**Ордена Ленина  
ИНСТИТУТ ПРИКЛАДНОЙ МАТЕМАТИКИ  
имени М.В.Келдыша  
Российской академии наук**

**П.И. Рагимли, Ю.А. Повещенко, Г.И. Казакевич,  
Д.С. Бойков, И.В. Гасилова**

**Модель флюидодинамики  
в пористой среде,  
содержащей газогидраты**

**Москва — 2016**

*П.И. Рагимли, Ю.А. Повещенко, Г.И. Казакевич, Д.С. Бойков, И.В. Гасилова*

**Модель флюидодинамики в пористой среде, содержащей газогидраты**

На основании разработанной двублочной математической модели диссоциации газовых гидратов в пористой среде построена и реализована на компьютере разностная схема, позволяющая дискретизировать задачу в одномерном случае. Проведены расчеты, показывающие, что с помощью программы возможно решать ряд типичных задач газогидратной флюидодинамики.

**Ключевые слова:** газовые гидраты, фильтрация, математическое моделирование

*Parvin Ilgar kizi Rahimli, Yuri Andreevich Poveschenko, Grigory Ilych Kazakevich, Dmitry Sergeevich Boykov, Irina Vladimirovna Gasilova*

**Fluid dynamics model in porous media containing gas hydrates**

On the basis of the developed mathematical model of two-component dissociation of gas hydrates in the porous medium there was built and implemented a computer-difference scheme, which allows to sample the task in the one-dimensional case. A number of calculations shows that the program is able to solve a set of common tasks of gas hydrate fluid dynamics.

**Key words:** gas hydrates, filtering, mathematical modeling

## Оглавление

Введение .....	3
Математическая модель.....	3
Постановка задачи.....	5
Описание метода .....	6
Результаты расчетов.....	10
Заключение.....	16
Список литературы.....	17

## Введение

При транспортировке и переработке углеводородных газов наличие паров воды в них приводит к образованию конденсата водяных паров и ледяных пробок, что осложняет эксплуатацию газопроводов. Наличие влаги в газах при повышенном давлении и пониженных температурах вызывает образование и отложение в газопроводах гидратов углеводородных газов. Исследования показали, что подобные гидраты могут образовываться и под землей и аккумулировать большие количества газа. Поэтому в настоящее время к газовым гидратам, как к потенциальным источникам углеводородов [1], привлечено большое внимание. По имеющимся данным, объем углеводородного газа, содержащегося в гидратах, значительно превосходит остальные его запасы.

В основе математического описания движения жидкостей и газов в пористой среде лежат уравнения механики сплошной среды, выражающие законы сохранения массы, импульса и энергии [2]. Эти же законы могут быть использованы для исследования фильтрации с учетом диссоциации газовых гидратов. В настоящей работе используется математическая модель работы [3], в которой наиболее полно учтены основные физические особенности этого процесса. Согласно этой работе, система сводится к сатурационному блоку, отвечающему за конвективный перенос сатурационных параметров и обладающему, в основном, гиперболическими свойствами, и диссипативному уравнению. Такое расщепление позволяет применять явно-неявные разностные схемы при решении задач и избегать сильного измельчения временного шага.

В настоящей работе разработан численный метод решения одномерных задач в рамках этой модели.

## Математическая модель

Задача описывается следующей системой уравнений:

сатурационный блок:

$$\frac{\partial}{\partial t} \{m(S_v S_w \rho_w + (1 - S_v) \rho_v \beta_w)\} + \operatorname{div}[\rho_w \vec{V}_w] + q_w = 0, \quad (1)$$

$$\frac{\partial}{\partial t} \{m(S_v(1 - S_w) \rho_g + (1 - S_v) \rho_v(1 - \beta_w))\} + \operatorname{div}[\rho_g \vec{V}_g] + q_g = 0, \quad (2)$$

диссипативный блок:

$$D_p \frac{\partial P}{\partial t} + \delta_\varepsilon DIG + \frac{\psi}{m \rho_v} DIG_\varepsilon = 0, \quad (3)$$

$$\begin{aligned}
D_p = m\delta_\varepsilon \left\{ S_v \left[ S_w \frac{(\rho_w)_p}{\rho_w} + (1 - S_w) \frac{(\rho_g)_p}{\rho_g} \right] + (1 - S_v) \frac{(\rho_v)_p}{\rho_v} + \frac{m_p}{m} \right\} \\
+ \frac{\psi}{m\rho_v} \left\{ m \left[ S_v S_w \rho_w (\varepsilon_w)_p + S_v (1 - S_w) \rho_g (\varepsilon_g)_p \right. \right. \\
\left. \left. + (1 - S_v) (\varepsilon_v)_p \rho_v \right] + [(1 - m) \rho_s \varepsilon_s]_p \right\}, \\
\delta_\varepsilon = \beta_w \varepsilon_w + (1 - \beta_w) \varepsilon_g - \varepsilon_v, \\
\frac{\psi}{m\rho_v} = \frac{\beta_w}{\rho_w} + \frac{1 - \beta_w}{\rho_g} - \frac{1}{\rho_v},
\end{aligned} \tag{4}$$

$$DIG = \frac{1}{\rho_w} \operatorname{div}[\rho_w \vec{V}_w] + \frac{1}{\rho_g} \operatorname{div}[\rho_g \vec{V}_g] + \frac{q_w}{\rho_w} + \frac{q_g}{\rho_g}, \tag{5}$$

$$\begin{aligned}
DIG_\varepsilon = \rho_w \vec{V}_w \nabla \varepsilon_w + \rho_g \vec{V}_g \nabla \varepsilon_g + \operatorname{div}[P(V_w + V_g)] + \operatorname{div}W \\
+ (q_\varepsilon - \varepsilon_w q_w - \varepsilon_g q_g),
\end{aligned} \tag{5}$$

$$W = -\{m(S_v(S_w \lambda_w + (1 - S_w) \lambda_g) + (1 - S_v) \lambda_v) + (1 - m) \lambda_s\} \nabla T,$$

где индексы  $g, w, v, s$  относятся к газу, воде, гидрату, скелету пористой среды;  $l$  – индекс, указывающий фазу;  $P$  – давление,  $T$  – температура,  $S_w$  – водонасыщенность,  $S_g = 1 - S_w$  – газонасыщенность,  $\nu$  – гидратонасыщенность,  $S_v = 1 - \nu$  – растепленность,  $\rho_l(P, T)$  – плотности фаз,  $V_l$  – скорость фильтрации соответствующей фазы;  $\beta_w$  – массовая доля воды в гидрате,  $m(r, P)$  – пористость,  $r$  – радиус-вектор,  $t$  – время,  $q_l(t, r, S_w, S_v, P)$  – плотности источников фаз,  $\varepsilon_l(P, T)$  – внутренние энергии фаз,  $\lambda_l(P, T)$  – коэффициенты теплопроводности.

Скорости фильтрации даются выражениями (закон Дарси с учетом гравитации в среде с общим давлением):

$$\vec{V}_w = -\frac{k \cdot k_{RW}}{\mu_w} (\nabla P - G \rho_w \vec{k}), \tag{6}$$

$$\vec{V}_g = -\frac{k \cdot k_{RG}}{\mu_g} (\nabla P - G \rho_g \vec{k}), \tag{7}$$

где  $k$  – вертикальный координатный орт,  $G$  – ускорение свободного падения,  $k(r, S_v, P)$  – абсолютная проницаемость,  $k_{RW}(S_w)$ ,  $k_{RG}(S_w)$  – фазовые проницаемости,  $\mu_w, \mu_g$  – вязкости воды и газа.

Внутренняя энергия гидрата выражается через энергии создающих его газа и воды следующим образом:

$$\beta_w i_w + (1 - \beta_w) i_g = i_v + h, \quad (8)$$

где  $h$  – скрытая теплота фазового перехода единицы массы гидрата,  $i_l = \varepsilon_l + \frac{P}{\rho_l}$  – энтальпия.

Состояние гидрата описывается соотношением фазового равновесия

$$T = A \ln P + B, \quad (9)$$

где  $A, B$  – эмпирические константы.

В силу этого соотношения в выражениях для всех параметров, где встречается зависимость от  $T$ , ее можно свести к зависимости от  $P$ .

Уравнения состояния для газа, воды и гидрата:

$$\rho_g = \frac{PM}{z(P, T)RT}, \rho_w = const, \rho_v = const, \quad (10)$$

где  $M$  – молярная масса газа,  $R$  – универсальная газовая постоянная,  $z(P, T)$  – коэффициент сверхсжимаемости газа.

Получившаяся система состоит из функционального блока (1)-(2), отвечающего за характеристический перенос сатурационных возмущений (в математическом плане – это гиперболичность в независимых переменных  $S_v, S_w$  на фоне фиксированного давления  $P$ ), и функционального блока (3), описывающего диссипативные и характеристически переносные процессы, выраженные нестационарностью по времени первого порядка ( $\frac{\partial}{\partial t}$ ), над пространственными дифференциальными операциями второго порядка (в терминах вектора  $\nabla$ ). В последнем случае независимой переменной является давление  $P$  при фиксированных сатурациях  $S_v$  и  $S_w$ . Перенос сатураций – растепленности  $S_v$  и влагонасыщенности  $S_w$  – вдоль характеристик связан, соответственно, со сносом вниз и вверх по потоку.

## Постановка задачи

Задача рассматривается в одномерной постановке. Также предполагается, что доля теплопроводности в общем балансе переноса тепла пренебрежимо мала по сравнению с конвекцией, т.е. в уравнении энергии кондуктивная составляющая полагается равной нулю ( $div W = 0$ ). Ускорение свободного падения также не учитывается ( $G = 0$ ). В итоге система (1-3) принимает следующий вид.

$$\frac{\partial}{\partial t} \{m(S_v S_w \rho_w + (1 - S_v) \rho_v \beta_w)\} + \frac{\partial}{\partial x} [\rho_w \vec{V}_w] + q_w = 0, \quad (11)$$

$$\frac{\partial}{\partial t} \{m(S_v(1 - S_w)\rho_g + (1 - S_v)\rho_v(1 - \beta_w))\} + \frac{\partial}{\partial x} [\rho_g \vec{V}_g] + q_g = 0, \quad (12)$$

$$\begin{aligned} D_p \frac{\partial P}{\partial t} + \delta_\varepsilon \left( \frac{1}{\rho_w} \frac{\partial}{\partial x} [\rho_w \vec{V}_w] + \frac{1}{\rho_g} \frac{\partial}{\partial x} [\rho_g \vec{V}_g] + \frac{q_w}{\rho_w} + \frac{q_g}{\rho_g} \right) \\ + \frac{\psi}{m\rho_v} \left( \rho_w \vec{V}_w \frac{\partial \varepsilon_w}{\partial x} + \rho_g \vec{V}_g \frac{\partial \varepsilon_g}{\partial x} + \frac{\partial}{\partial x} [P(\vec{V}_w + \vec{V}_g)] \right) \\ + (q_\varepsilon - \varepsilon_w q_w - \varepsilon_g q_g) = 0, \end{aligned} \quad (13)$$

$$\vec{V}_w = -\frac{k \cdot k_{RW}}{\mu_w} \frac{\partial P}{\partial x}, \vec{V}_g = -\frac{k \cdot k_{RG}}{\mu_g} \frac{\partial P}{\partial x}. \quad (14)$$

В начальный момент давление распределено по следующему закону

$$P(x, 0) = 10^7 - 99 \times 10^5 * x, \quad (15)$$

а водонасыщенность и растеplenность однородны по пространству:

$$S_w(x, 0) = S_w^0, S_v(x, 0) = S_v^0, \quad (16)$$

где  $0 < S_w^0 < 1$  и  $0 < S_v^0 < 1$  – постоянные величины,  $x \in [0, l]$ ,  $l$  – длина расчетной области.

Границы задачи предполагаются «стенками», т.е. поток через них нулевой.

$$V_w|_{x=0} = 0, V_g|_{x=0} = 0, V_w|_{x=l} = 0, V_g|_{x=l} = 0, t > 0. \quad (17)$$

В некоторой узкой области работает источник в виде

$$q_w = \alpha(P - P_N), q_g = \beta(P - P_N), q_\varepsilon = \varepsilon_w q_w + \varepsilon_g q_g, \quad (18)$$

где  $\alpha$  и  $\beta$  – постоянные параметры, являющиеся некоторыми характеристиками источника (стока) в призабойной зоне, обусловленного перепадом давления внутри скважины и в пласте.

## Описание метода

Исходные уравнения, граничные и начальные условия заменяются их сеточными аналогами, строится сетка с пространственным равномерным шагом

$h$  и с шагом по времени  $\tau_n$ , где  $n$  – номер шага по времени. При построении схемы для сатурационного блока используется противопоточная схема или схема «наветренных разностей» (в зарубежной литературе – UPWIND). Для простоты верхние индексы  $n + 1$  опущены.

Схема выглядит следующим образом:

$$D_p(P_i) \frac{P_i - P_i^n}{\tau} + \delta_\varepsilon(P_i) \cdot DIG_i + \frac{\psi}{m\rho_v} DIG_{\varepsilon i} = 0, \quad (19)$$

$$i = \overline{1, N-1}, n > 0;$$

$$DIG_i = - \left[ \frac{k^n k_{rw}^n}{\mu_w} \right]_{i+\frac{1}{2}} \frac{P_{i+1} - P_i}{h^2} + \left[ \frac{k^n k_{rw}^n}{\mu_w} \right]_{i-\frac{1}{2}} \frac{P_i - P_{i-1}}{h^2} - \left[ \frac{\rho_g k^n k_{rg}^n}{\mu_g} \right]_{i+\frac{1}{2}} \frac{P_{i+1} - P_i}{\rho_{gi} h^2} + \left[ \frac{\rho_g k^n k_{rg}^n}{\mu_g} \right]_{i-\frac{1}{2}} \frac{P_i - P_{i-1}}{\rho_{gi} h^2} + \frac{\alpha(P_i - P_N)}{\rho_w} + \frac{\beta(P_i - P_N)}{\rho_{gi}}; \quad (20)$$

$$DIG_{\varepsilon i} = \rho_w \left[ - \frac{k^n k_{RW}^n}{\mu_w P} \right]_i Ac_w \left( \frac{P_{i+1} - P_i}{h} \right)^2 + \left[ - \frac{\rho_g k^n k_{RG}^n}{\mu_g P} \right]_i Ac_g \left( \frac{P_{i+1} - P_i}{h} \right)^2 - \left[ \frac{Pk^n k_{RW}^n}{\mu_w} + \frac{Pk^n k_{RG}^n}{\mu_g} \right]_{i+\frac{1}{2}} \frac{P_{i+1} - P_i}{h^2} + \left[ \frac{Pk^n k_{RW}^n}{\mu_w} + \frac{Pk^n k_{RG}^n}{\mu_g} \right]_{i-\frac{1}{2}} \frac{P_i - P_{i-1}}{h^2}; \quad (21)$$



$$\begin{aligned}
D_{pi} = & m\delta_{\varepsilon i}S_{vi}(1 - S_{wi})\frac{(\rho_{gi})_p}{\rho_{gi}} + \frac{\psi}{m\rho_v}(1 - m)\rho_s(\varepsilon_s)_p \\
& + \frac{\psi}{m\rho_v}\left\{m\left[S_{vi}S_{wi}\rho_w(\varepsilon_{wi})_p + S_{vi}(1 - S_{wi})\rho_{gi}(\varepsilon_{gi})_p\right.\right. \\
& \left.\left.+ (1 - S_{vi})\rho_v(\varepsilon_{vi})_p\right]\right\}, \tag{22}
\end{aligned}$$

$$\delta_{\varepsilon i} = \beta_w\varepsilon_{wi} + (1 - \beta_w)\varepsilon_{gi} - \varepsilon_{vi}, \frac{\psi}{m\rho_v} = \frac{\beta_w}{\rho_w} + \frac{1 - \beta_w}{\rho_{gi}} - \frac{1}{\rho_v};$$

$$\begin{aligned}
m\rho_w \frac{S_{vi}S_{wi} - S_{vi}^n S_{wi}^n}{\tau} + m\rho_v\beta_w \frac{1 - S_{vi} - (1 - S_{vi}^n)}{\tau} \\
+ \frac{\rho_w}{h} \left( \frac{\max\left\{\left(-\frac{P_{i+1}^n - P_i^n}{h}\right), 0\right\}}{\mu_w} k(S_{vi+1}^n)k_{RW}(S_{wi}^n) \right. \\
+ \frac{\min\left\{\left(-\frac{P_{i+1}^n - P_i^n}{h}\right), 0\right\}}{\mu_w} k(S_{vi}^n)k_{RW}(S_{wi+1}^n) \\
- \frac{\max\left\{\left(-\frac{P_i^n - P_{i-1}^n}{h}\right), 0\right\}}{\mu_w} k(S_{vi}^n)k_{RW}(S_{wi-1}^n) \\
\left. - \frac{\min\left\{\left(-\frac{P_i^n - P_{i-1}^n}{h}\right), 0\right\}}{\mu_w} k(S_{vi-1}^n)k_{RW}(S_{wi}^n) \right) \\
+ \alpha(P_i - P_N) = 0, i = \overline{1, N-1}, n > 0; \tag{23}
\end{aligned}$$

$$\begin{aligned}
& m \frac{S_{v_i} (1 - S_{w_i}) \rho_{g_i} - S_{v_i}^n (1 - S_{w_i}^n) \rho_{g_i}^n}{\tau} \\
& + m \rho_v (1 - \beta_w) \frac{1 - S_{v_i} - (1 - S_{v_i}^n)}{\tau} \\
& + \frac{1}{h} \left( \rho_{g_{i+\frac{1}{2}}}^n \frac{\max \left\{ \left( -\frac{P_{i+1}^n - P_i^n}{h} \right), 0 \right\}}{\mu_G} k(S_{v_{i+1}}^n) k_{RG}(S_{w_i}^n) \right. \\
& + \rho_{g_{i+\frac{1}{2}}}^n \frac{\min \left\{ \left( -\frac{P_{i+1}^n - P_i^n}{h} \right), 0 \right\}}{\mu_G} k(S_{v_i}^n) k_{RG}(S_{w_{i+1}}^n) \\
& - \rho_{g_{i-\frac{1}{2}}}^n \frac{\max \left\{ \left( -\frac{P_i^n - P_{i-1}^n}{h} \right), 0 \right\}}{\mu_G} k(S_{v_i}^n) k_{RG}(S_{w_{i-1}}^n) \\
& \left. - \rho_{g_{i-\frac{1}{2}}}^n \frac{\min \left\{ \left( -\frac{P_i^n - P_{i-1}^n}{h} \right), 0 \right\}}{\mu_G} k(S_{v_{i-1}}^n) k_{RG}(S_{w_i}^n) \right) \\
& + \beta (P_i - P_N) = 0, i = \overline{1, N-1}, n > 0;
\end{aligned} \tag{24}$$

$$\begin{aligned}
P(x, 0) &= P_i^0, i = \overline{1, N-1}; \\
S_w(x, 0) &= S_{w_i}^0, S_v(x, 0) = S_{v_i}^0, i = \overline{0, N};
\end{aligned} \tag{25}$$

$$V_{w0}^n = 0, V_{g0}^n = 0, V_{wN}^n = 0, V_{gN}^n = 0, n > 0 (P_0 = P_1, P_N = P_{N-1}). \tag{26}$$

$c_w, c_g$  – теплоемкости воды и газа при постоянном объеме.

Метод решения: Первым решается диссипативный блок (19)-(22) с фиксированными значениями растепленности и водонасыщенности. Соответствующее разностное уравнение представляет собой систему нелинейных алгебраических уравнений, которая после применения метода хорд в индексной форме сводится к трехточечному уравнению:

$$A_i \delta P_{i-1} - C_i \delta P_i + B_i \delta P_{i+1} = -F_i, i = \overline{1, N}, \tag{27}$$

где  $s$  – номер итерации,  $\delta P_i = P_i^{s+1} - P_i^s$  – приращение давления на  $s+1$  итерации. Уравнение (27) на каждом временном слое решается с помощью метода простых итераций в сочетании с алгоритмом прогонки. Итерационный процесс продолжается до тех пор, пока не будет достигнута заданная точность по давлению:

$$|\delta P_i| < \varepsilon_1 |P_i^s| + \varepsilon_2, \quad (28)$$

где  $\varepsilon_1, \varepsilon_2$  – малые величины.

Далее, располагая значениями давления  $P$ , можно совершить переход ко второму этапу. Вычисляется сатурационный блок, а именно, считаются  $S_w$  и  $S_v$  по явной схеме. Из дискретных соотношений (23)-(24) после сложения находятся значения растеplenности, которые затем подставляются в уравнение (23), откуда определяются водонасыщенности. Процедура повторяется до заданного времени расчета.

Для коррекции нефизических осцилляций используется метод адаптивной искусственной вязкости. В интервалах немонотонности решения коэффициенты проницаемостей заменяются на:

$$\begin{aligned} & k \left( S_v + \text{sign}(-\text{grad}P) \mu \frac{\partial S_v}{\partial x} \right), \\ & k_{rw} \left( S_w - \text{sign}(-\text{grad}P) \mu \frac{\partial S_w}{\partial x} \right), \\ & k_{rg} \left( S_w - \text{sign}(-\text{grad}P) \mu \frac{\partial S_w}{\partial x} \right), \end{aligned} \quad (29)$$

где  $0 < \mu < 1$  – коэффициент искусственной вязкости.

## Результаты расчетов

Для расчета были выбраны следующие значения параметров:

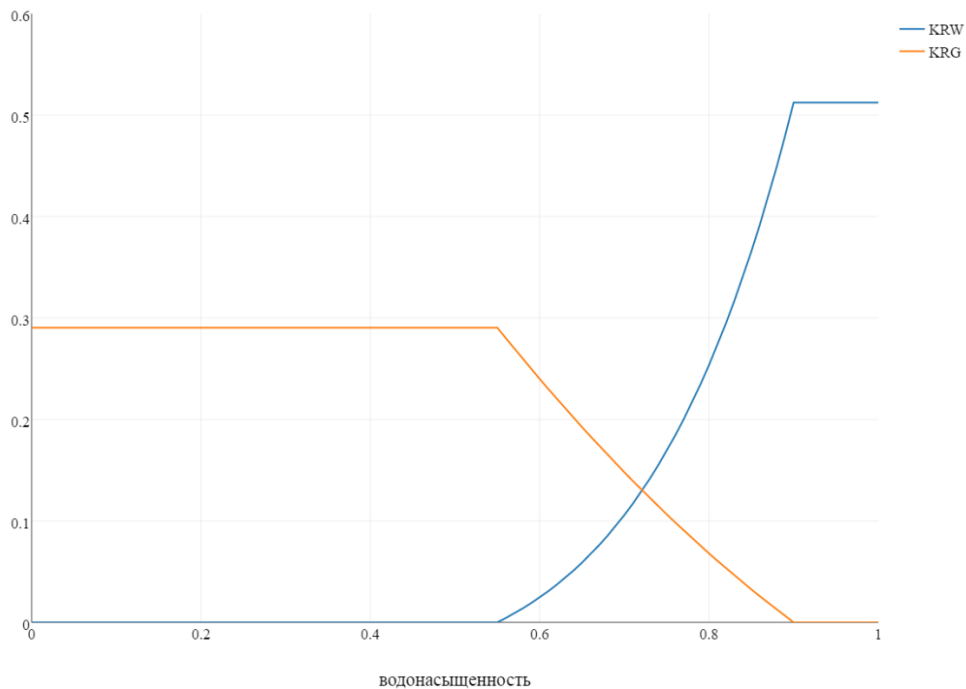
$$\begin{aligned} \rho_w &= 10^3 \frac{\text{КГ}}{\text{М}^3}, \rho_v = 910 \frac{\text{КГ}}{\text{М}^3}, \beta_w = 0.9, m = 0.35, A = 7.28, B = 169.7K, \\ \mu_w &= 10^{-3} \text{Па} \cdot \text{сек}, \mu_g = 0.014 \cdot 10^{-3} \text{Па} \cdot \text{сек}, h = 3 \cdot 10^6 \frac{\text{Дж}}{\text{КГ}}, c_w = 4165 \frac{\text{Дж}}{\text{КГ} \cdot \text{К}}, \\ c_g &= 2500 \frac{\text{Дж}}{\text{КГ} \cdot \text{К}}, c_v = \beta_w c_w + (1 - \beta_w) c_g, c_s = 873 \frac{\text{Дж}}{\text{КГ} \cdot \text{К}}, M = 0.016 \frac{\text{КГ}}{\text{МОЛЬ}}, \\ R &= 8.31 \frac{\text{Дж}}{\text{МОЛЬ} \cdot \text{К}}, S_w^0 = 0.6, S_v^0 = 0.5, k(S_v) = k_0 (S_v)^3, k_0 = 10 \text{мД} = 10^{-14} \text{м}^2, \\ \rho_s &= 2800 \frac{\text{КГ}}{\text{М}^3}, k_{rw}(S_w) = 1.477S_w^5 - 1.587S_w^6 + 1.11S_w^7 - 0.0473, \\ k_{rg}(S_w) &= 1.044 - 1.7S_w + 0.6S_w^2, z(P, T) = 1. \end{aligned}$$

Минимальное значение водонасыщенности  $S_{wmin} = 0.55$ .

$k_{rw}(S_w) = 0, k_{rg}(S_w) = k_{rg}(S_{wmin})$  при  $S_w \leq S_{wmin}$ .

Максимальное значение водонасыщенности  $S_{wmax} = 0.9$ .

$k_{rw}(S_w) = k_{rw}(S_{wmax}), k_{rg}(S_w) = 0$  при  $S_w \geq S_{wmax}$ .



*Рис. 1. Зависимости фазовых проницаемостей воды и газа от водонасыщенности.*

Длина модельной трубы полагается равной  $l=1\text{ м}$ , шаг по пространственной координате  $h=0.01\text{ м}$ . Расчеты проводятся для моментов времени  $t = 1; 10; 100$  сек. На рисунках 1, 2, 3, 4 показаны результаты расчетов для водонасыщенности, растепленности, давления и температуры соответственно.

На рисунках 5,6,7,8 показаны результаты расчетов водонасыщенности, растепленности, давления и температуры, когда работает источник газа при  $x \in [0.4; 0.6]$ .  $\alpha = 0, \beta = 0.0001$ .

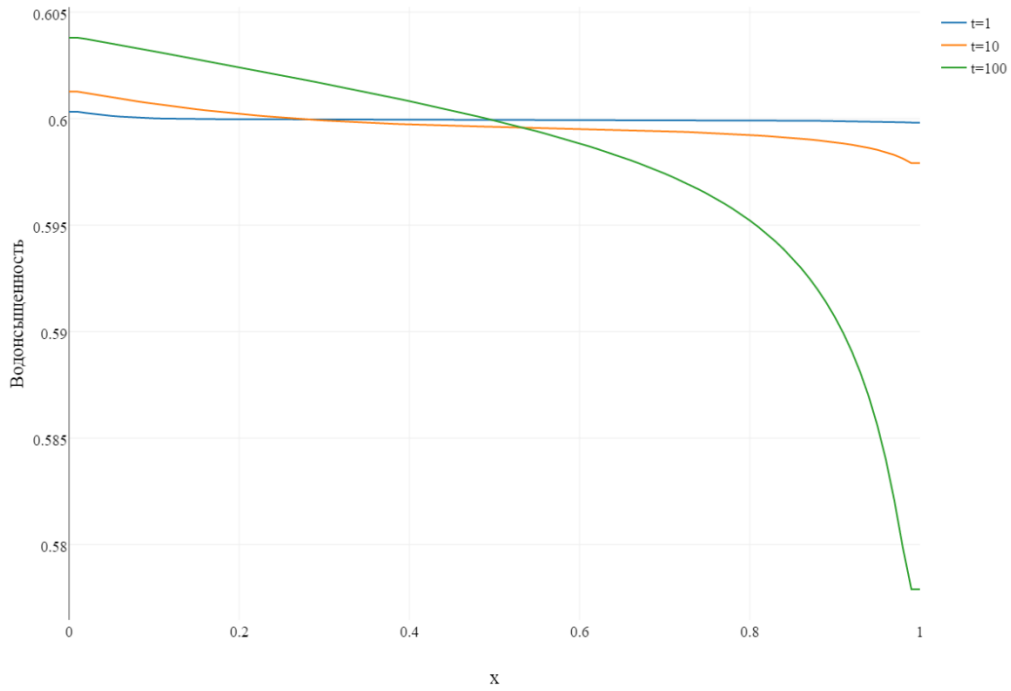


Рис. 2. Распределение водонасыщенности для моментов времени 1, 10, 100 с.,  $\alpha = 0, \beta = 0$ .

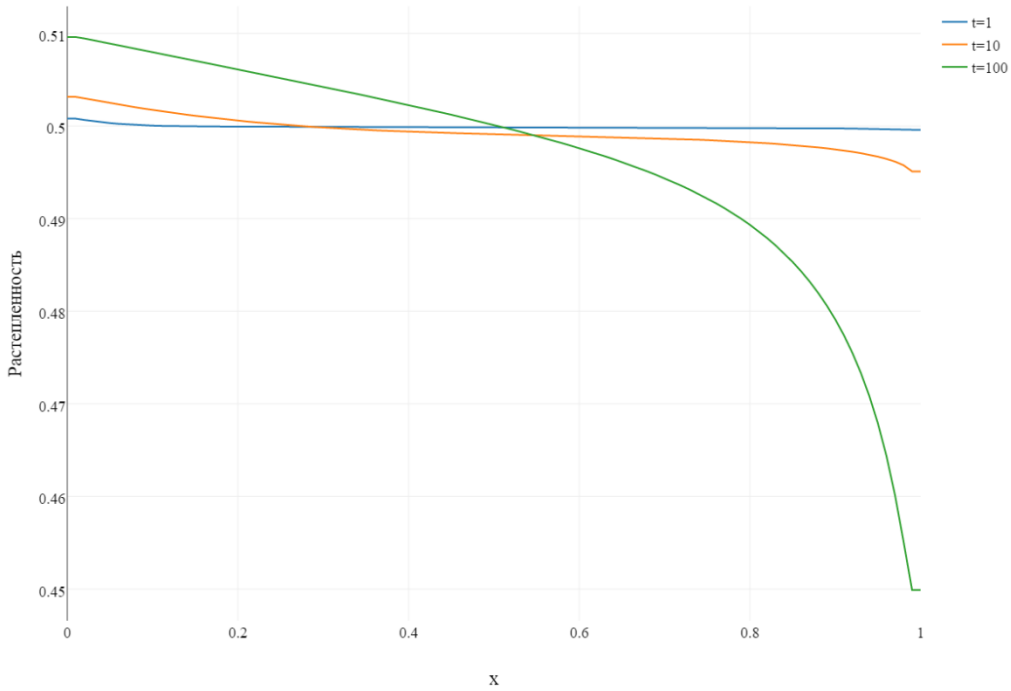


Рис. 3. Распределение растепленности для моментов времени 1, 10, 100 с.,  $\alpha = 0, \beta = 0$ .

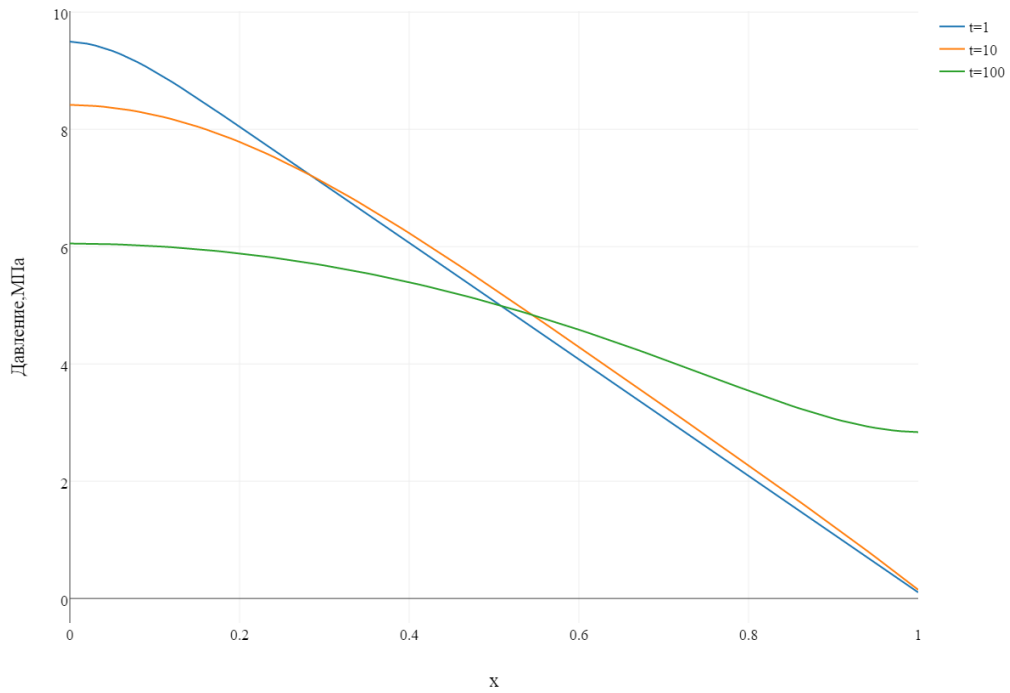


Рис. 4. Распределение давления для моментов времени 1, 10, 100 с.,  $\alpha = 0, \beta = 0$ .

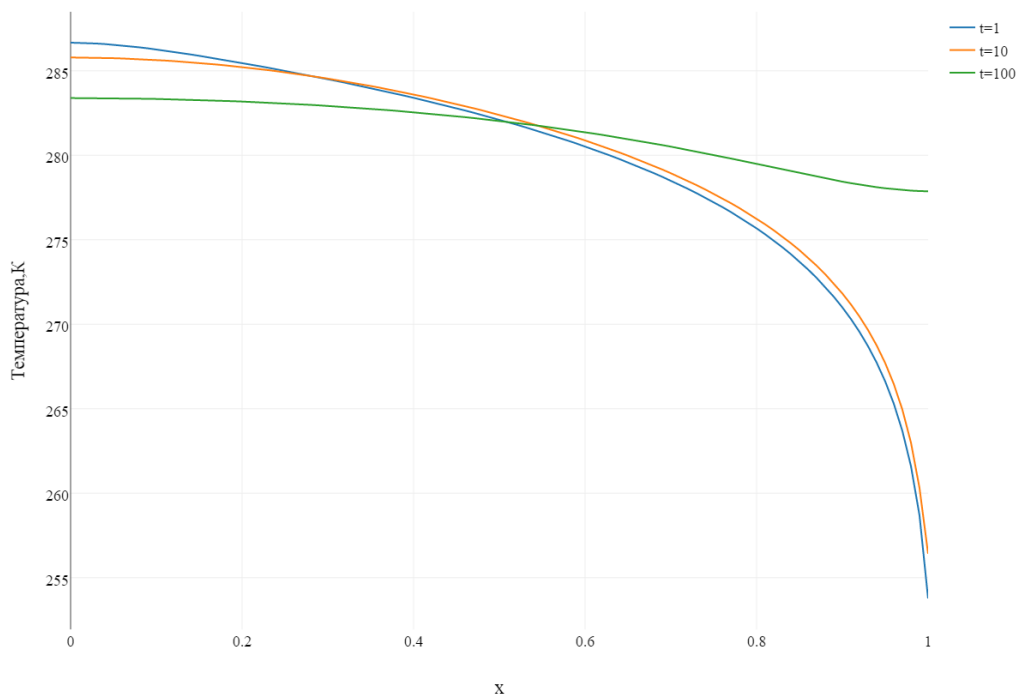


Рис. 5. Распределение температуры для моментов времени 1, 10, 100 с.,  $\alpha = 0, \beta = 0$ .

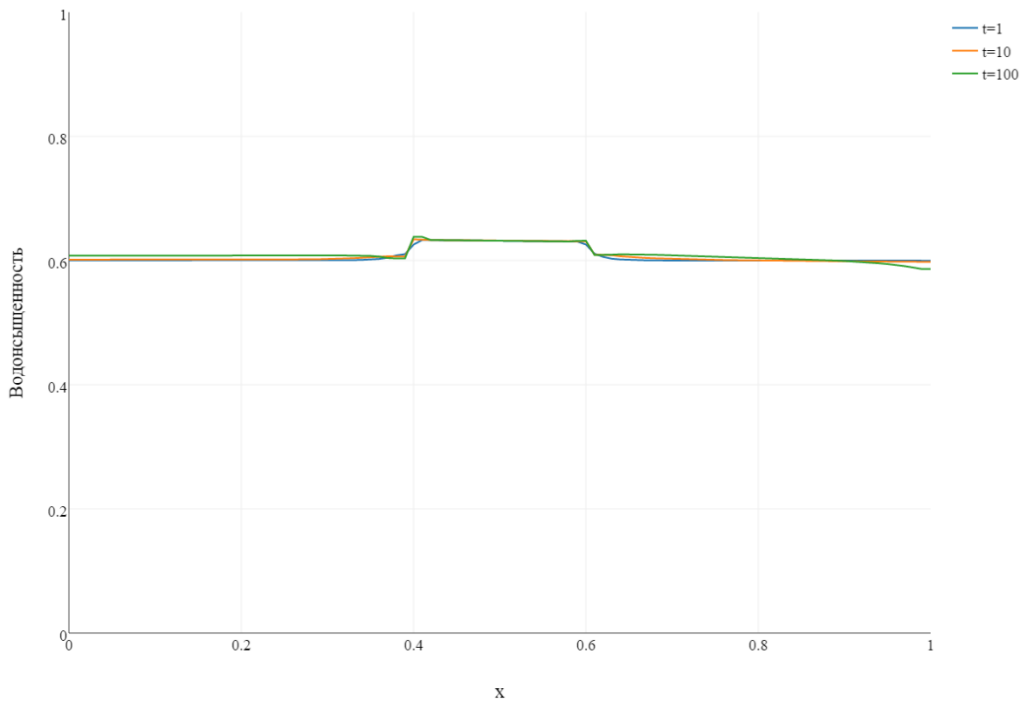


Рис. 6. Распределение водонасыщенности для моментов времени 1, 10, 100 сек,  $\alpha = 0, \beta = 0.0001$  при  $x \in [0.4; 0.6]$ .

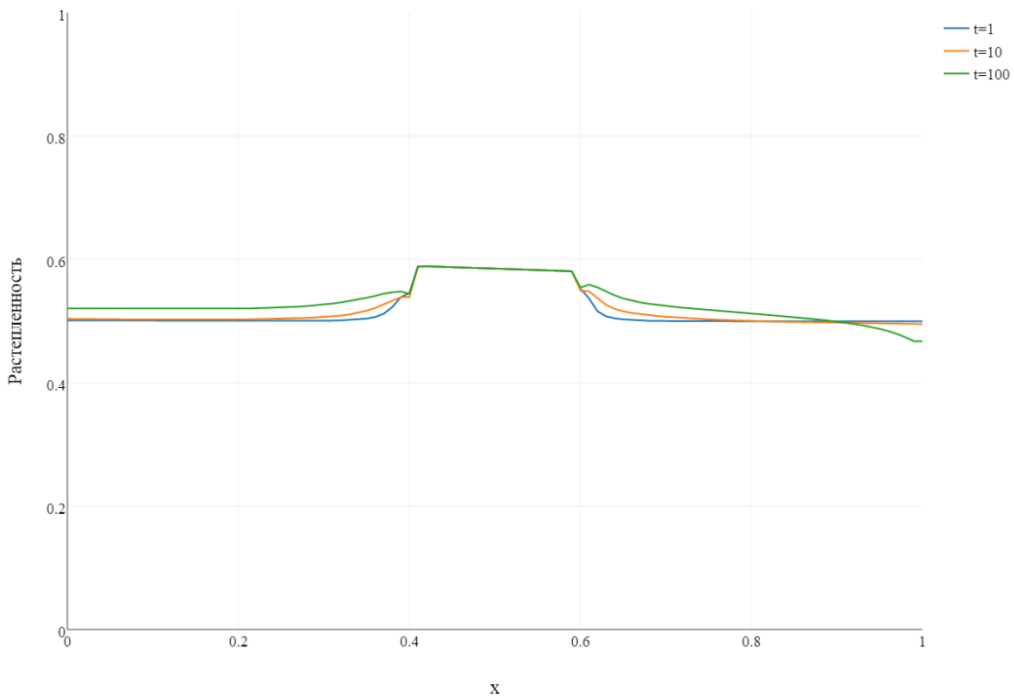


Рис. 7. Распределение растепленности для моментов времени 1, 10, 100 сек,  $\alpha = 0, \beta = 0.0001$  при  $x \in [0.4; 0.6]$ .

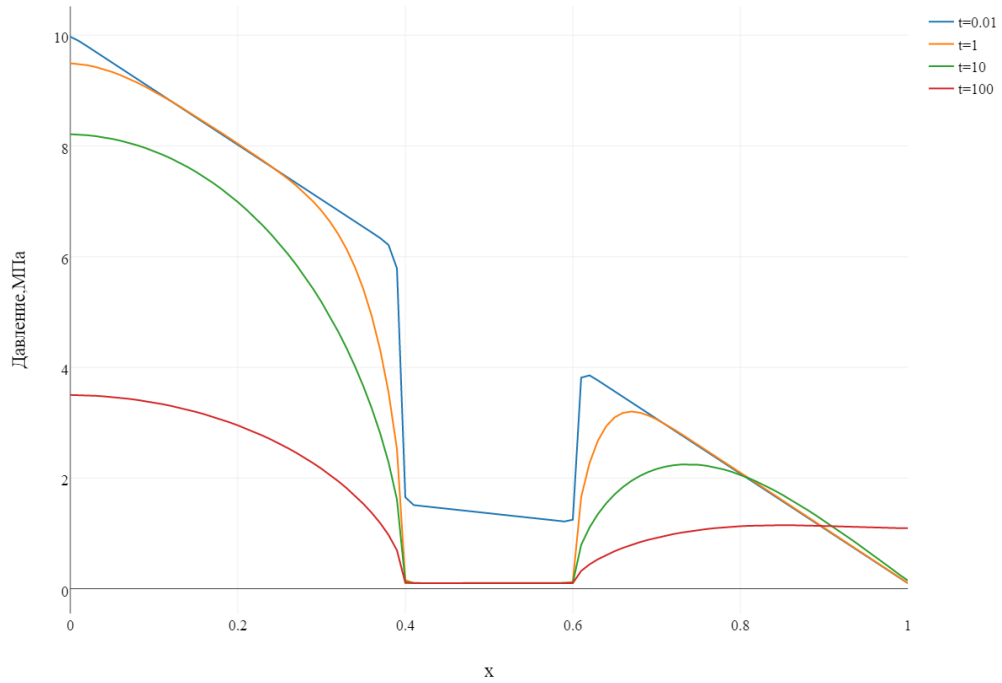


Рис. 8. Распределение давления для моментов времени 1, 10, 100 сек,  $\alpha = 0$ ,  $\beta = 0.0001$  при  $x \in [0.4; 0.6]$ .

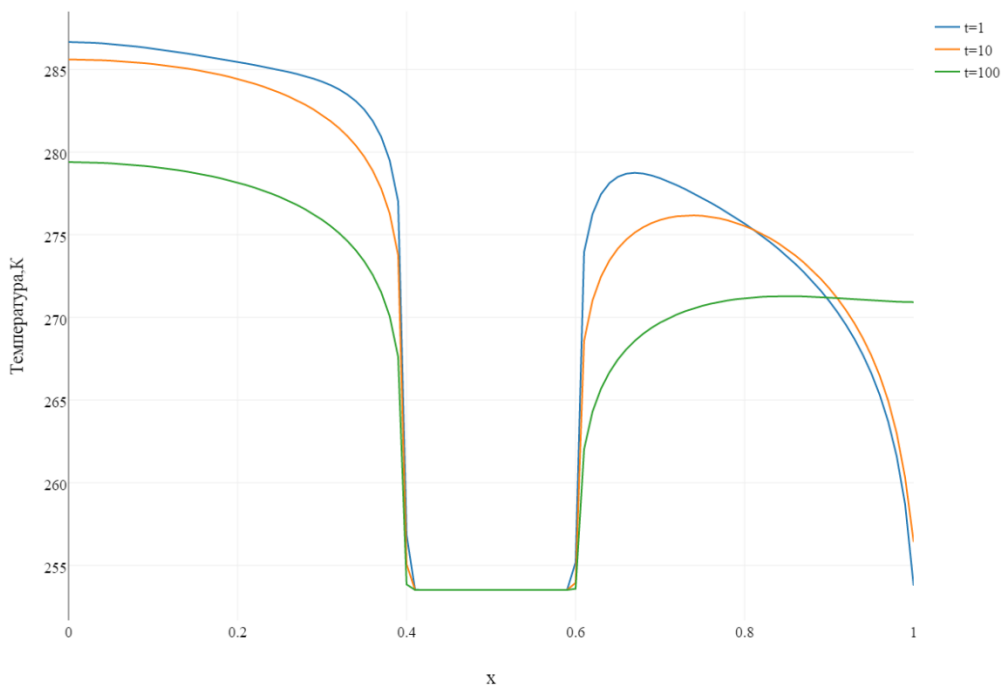
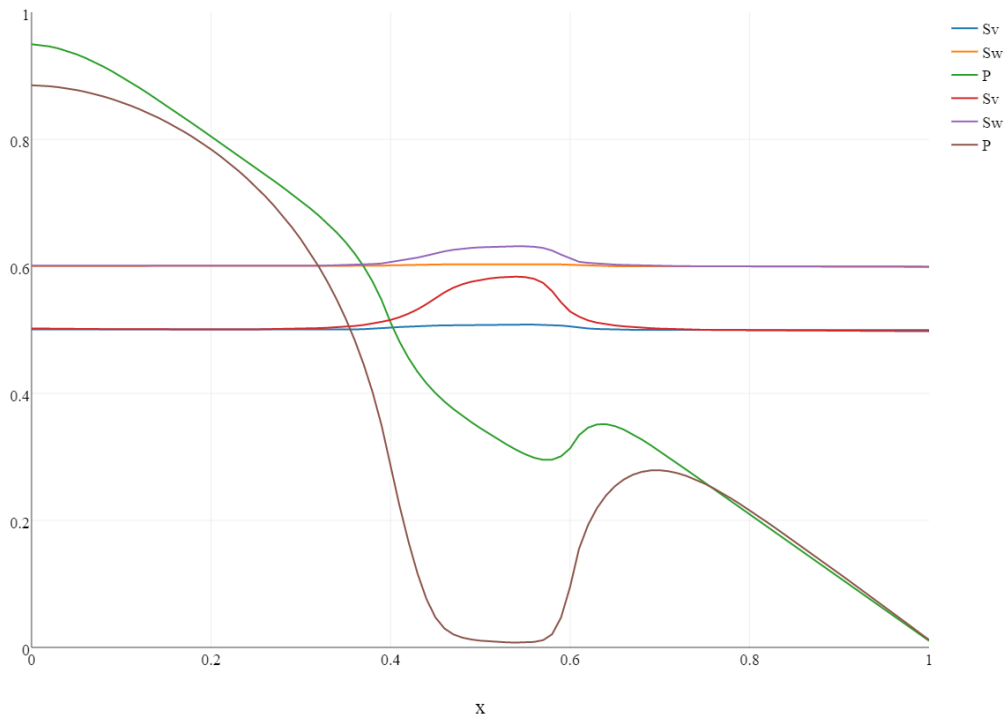


Рис. 9. Распределение температуры для моментов времени 1, 10, 100 сек,  $\alpha = 0$ ,  $\beta = 0.0001$  при  $x \in [0.4; 0.6]$ .





*Рис. 10. Распределения растепленности, водонасыщенности и давления для моментов времени 1;5 сек,  $q_w = 0$ ,  $q_g = 1$  Па при  $x \in [0.4; 0.6]$ .*

## Заключение

В работе построена разностная схема, позволяющая численно решать систему уравнений фильтрации жидкостей и газов в пористой среде с учетом диссоциации газовых гидратов, неявная по давлению и явная по водонасыщенности и растепленности. На основании этой схемы создана компьютерная программа. Результаты расчетов показывают пригодность разработанных методов для расчета реальных задач, связанных с залежами газогидратов.

Теоретическая часть данной работы выполнена при поддержке Российского научного фонда, грант № 16-11-00100 (разделы: введение, математическая модель, постановка задачи).

Расчеты и анализ результатов модельных задач проведены при поддержке грантов РФФИ № 16-29-15081 офи\_м, № 16-31-00350 мол\_а (разделы: описание метода, результаты расчетов).

## **Список литературы**

1. Englezos P. Clathrate hydrates // *Ind. Eng. Chem. Res.*, 1993. V.32. P. 1251-1274
2. Басниев К.С. Подземная гидромеханика: учебник для вузов / Басниев К.С., Кочина И.Н., Максимов В.М. – М.: Недра, 1993. – 416 с.
3. Повещенко О.Ю., Гасилова И.В., Галигузова И.И., Дорофеева Е.Ю., Ольховская О.Г., Казакевич Г.И. Об одной модели флюидодинамики в пористой среде, содержащей газогидраты // *Математическое моделирование*, Т. 25, № 10, с. 32-42, 2013.